

愛知製鋼 研究部 ○村上彰彦, 花井義泰, 森 甲一

技術開発部 中村和彦

1~3)

1, 緒言: 鋳造中の連鋳鋳片に鋳を打ち込み元素の拡散から凝固挙動研究が行われている。それらは主に鋳成分の鋳片への拡散から得られるデータをもとにしており、鋳内への拡散にはあまり目を向けられていないと思われる。そこで、鋳内への元素の拡散に着目し CMA (Computer-Aided-Micro-Analyzer) を用いて解析することによって鋳片内部の温度分布の推定を試み、差分法による計算値との比較検討を行った。

2, 実験方法

メニスカスより 17.3 m の位置で鋳造中の鋳片に鋳を打ち込み、鋳造後試料を切出して主に Al の分布状態を CMA により観察した。

Fig. 1 に鋳の形状を、Table. 1 に鋳及び鋳片の化学成分を示す。

3, 実験結果

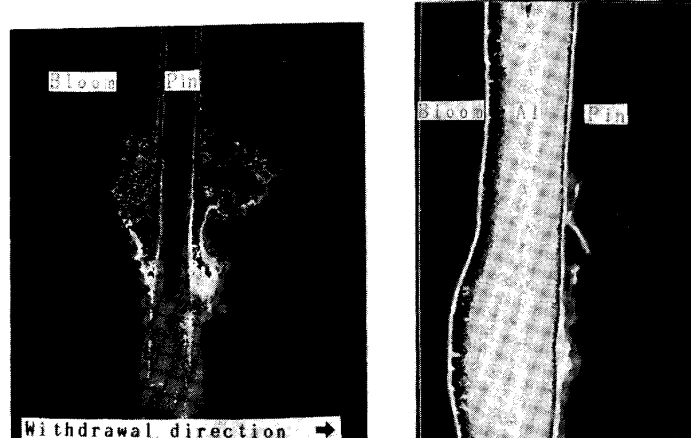
CMA による、Al の分析結果を Photo. 1 に示す。鋳表面にメッキされていた Al が、鋳片内及び鋳内に拡散している様子が認められる。また Foto. 1(b) は、鋳内部への Al の拡散開始部分を拡大したものである。Al が、粒界に沿って拡散していることがわかる。この位置を鋳の固相線と考えて鋳片内部の温度分布を推定した。また鋳片への Al 及び Mo の拡散からも温度分布を調べた。Fig. 2 に実験による推定値と差分法による計算値との比較を示す。計算値との一致が見られ、推定値及び計算値の妥当性を確認した。さらに SCM440 よりも融点の低い鋳を用いた実験も、進めている。

Table. 1 Chemical composition of pin and bloom. (Wt%) Al coated (100 μm)

	C	Si	Mn	Cr	Mo	Al
Pin	0.41	0.26	0.70	1.03	0.16	0.033
Bloom	0.21	0.23	0.75	0.98	0.02	0.023



Fig. 1 Type of pin



a) Macro map of Al
Photo. 1 CMA analysis of Al-distribution near the interface of bloom and pin.
b) Micro map of Al

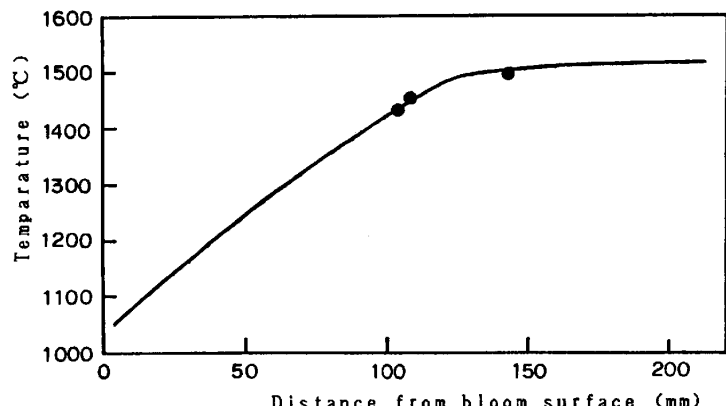


Fig. 2 Comparation of calculated temperature curve of bloom section and experimental.

参考文献 1) 原ら: 学振19委-10614 (1985), 2) 尾野ら: 学振19委-10562 (1984)

3) 三隅ら: 鉄と鋼 71 (1985) S214